

ESTUDO QUÍMICO DE UMA AMOSTRA DE PRÓPOLIS VERDE DE PASSA QUATRO, MINAS GERAIS, BRASIL[#]

Leonardo Carvalho Tavares, Telma Leda Gomes de Lemos e Angela Martha Campos Arriaga*

Departamento de Química Orgânica e Inorgânica, Centro de Ciências, Universidade Federal do Ceará, CP 12200, 60021-970 Fortaleza – CE, Brasil

Gilvandete Maria Pinheiro Santiago

Departamento de Farmácia, Universidade Federal do Ceará, Rua Capitão Francisco Pedro 1210, 60430-370 Fortaleza – CE, Brasil

Raimundo Braz-Filho

Fundação de Amparo à Pesquisa do Estado do Rio de Janeiro / LCQUI, CCT, Universidade Estadual do Norte Fluminense, 28013-603 Campos dos Goytacazes - RJ, Brasil

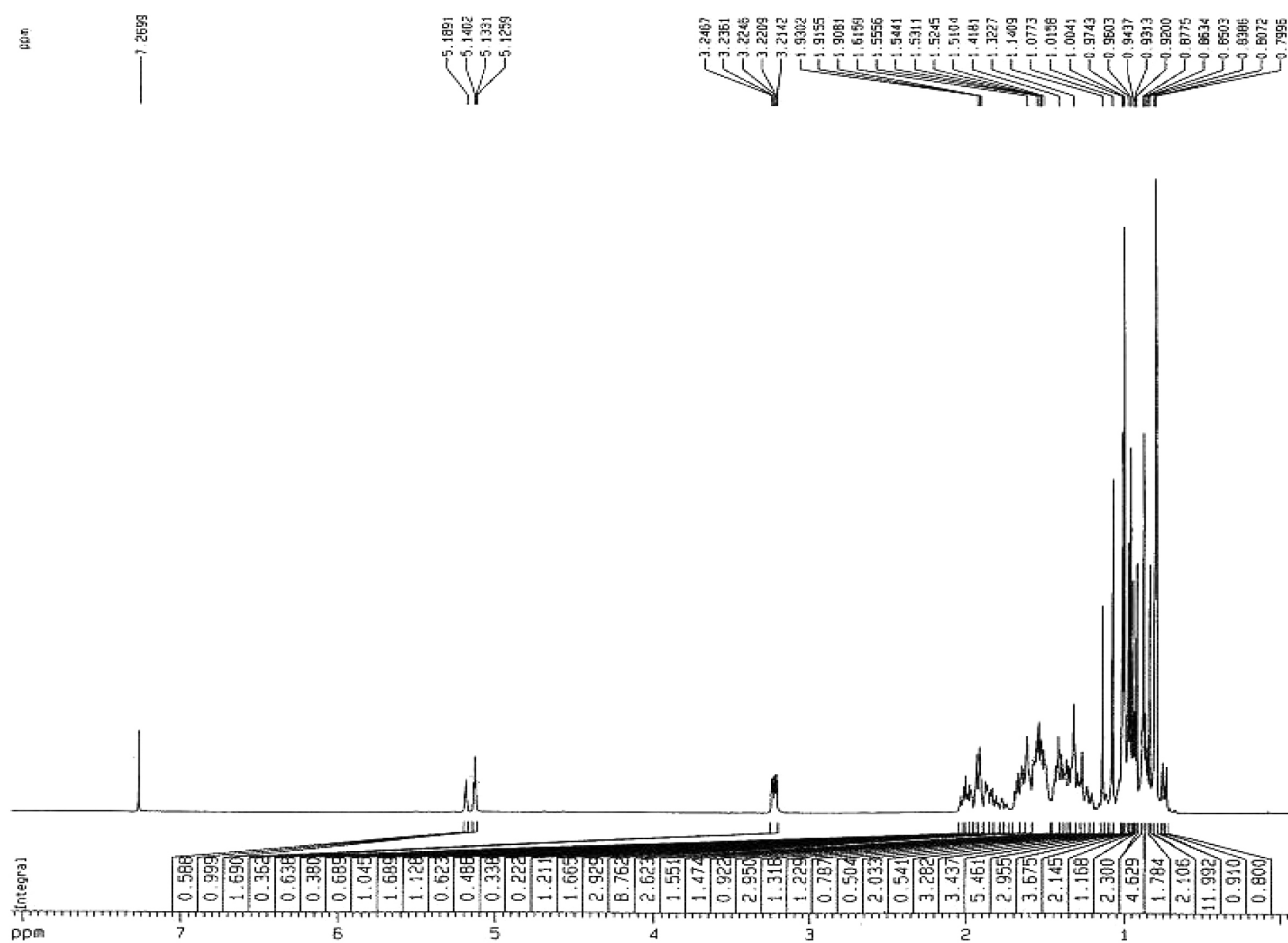


Figura 1S. Espectro de RMN de ¹H (500 MHz, CDCl₃) de 1a e 1b

*e-mail: angelamcarriaga@yahoo.com.br

[#] Artigo em homenagem ao Prof. Hans Viertler

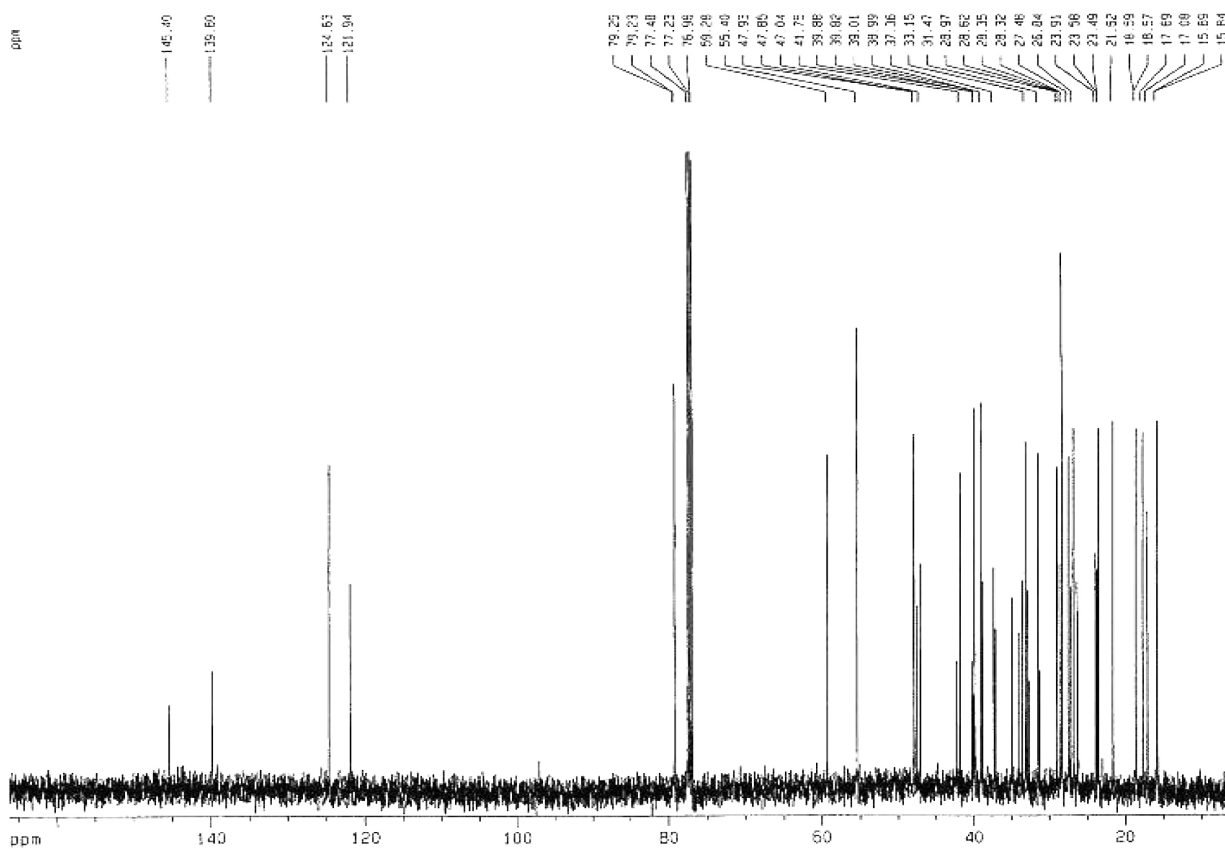


Figura 2S. Espectro de RMN de ^{13}C (125 MHz, CDCl_3) de **1a** e **1b**

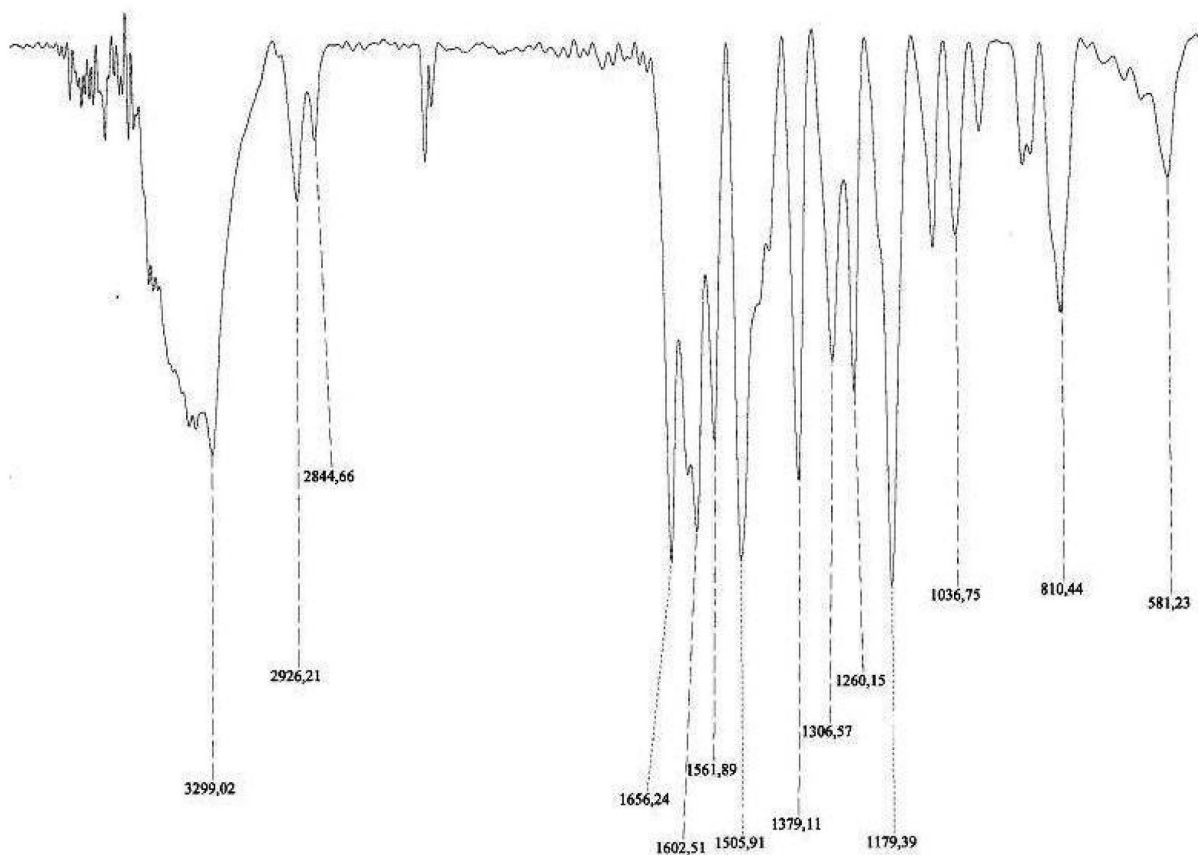


Figura 3S. Espectro de absorção na região de IV (KBr) de **3a** e **3b**

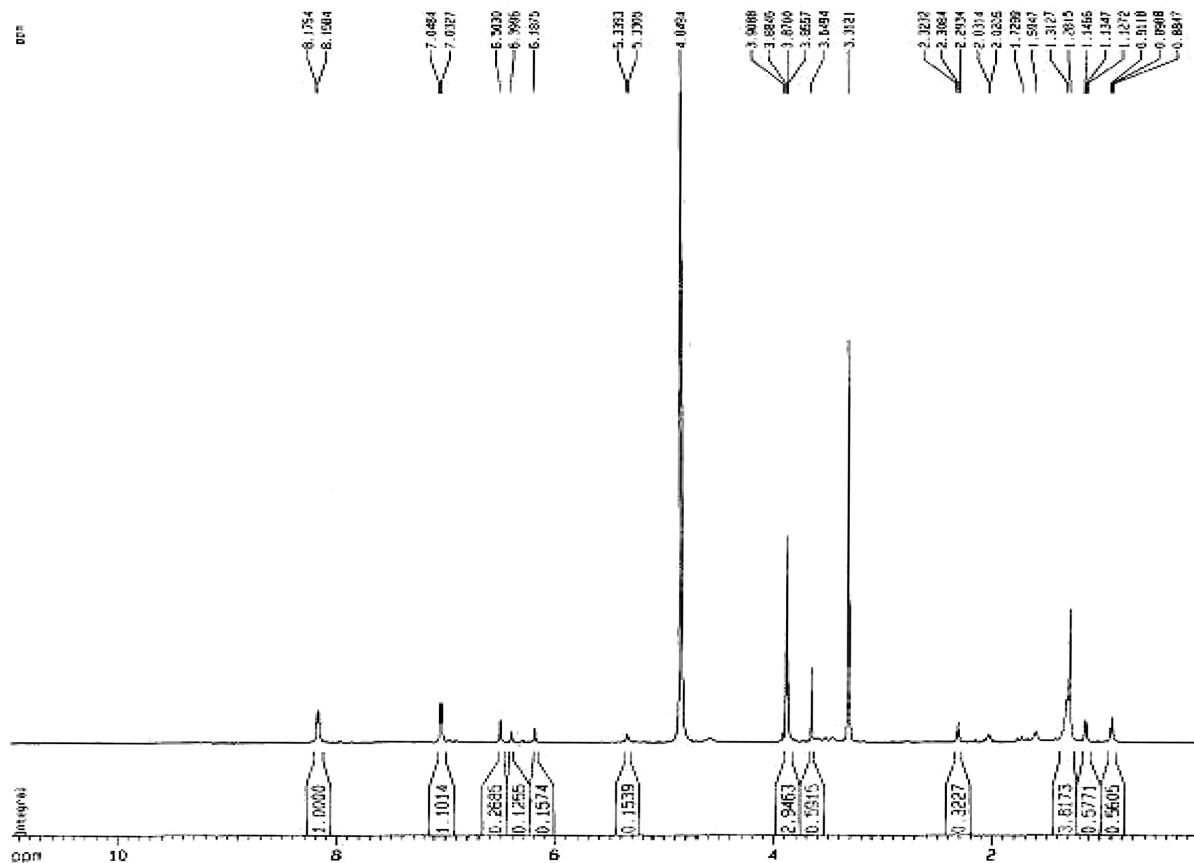


Figura 4S. Espectro de RMN de ¹H (500 MHz, CDCl₃) de 3a e 3b

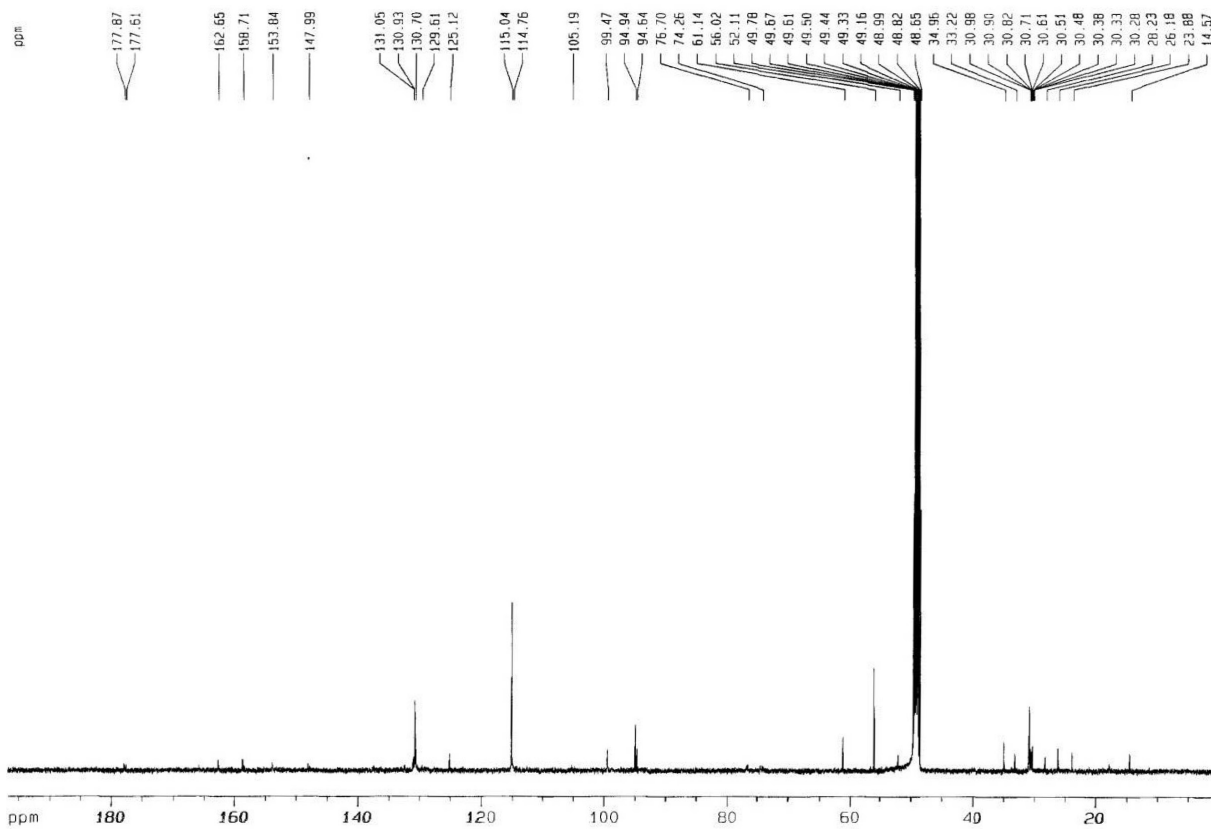


Figura 5S. Espectro de RMN de ¹³C (125 MHz, CDCl₃) de 3a e 3b

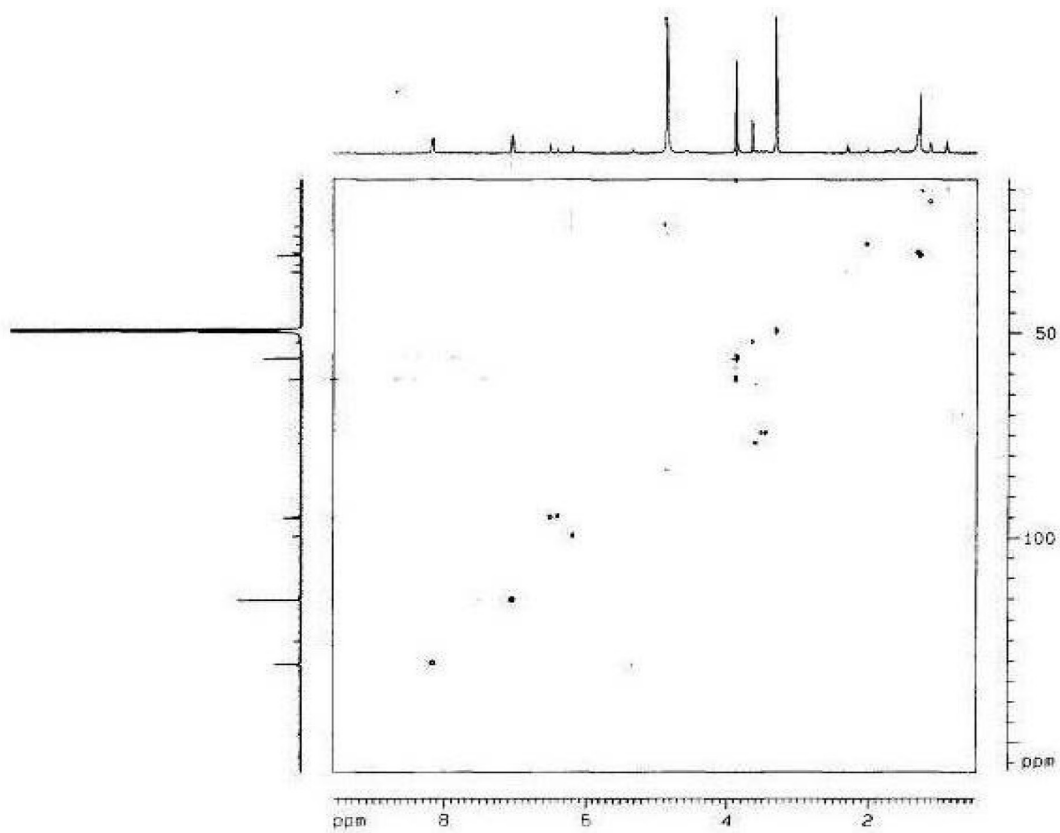


Figura 6S. Espectro de HMQC (500 MHz, para ^1H e 125 MHz para ^{13}C CDCl_3) de **3a** e **3b**

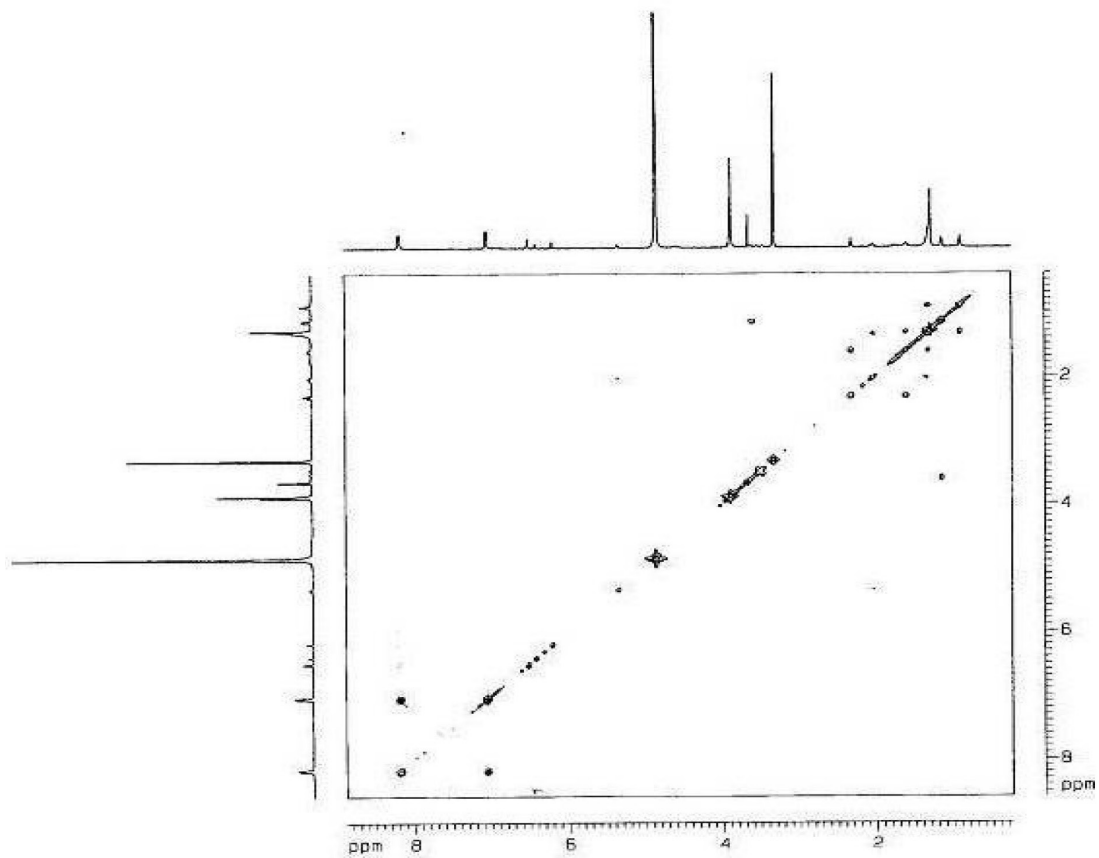


Figura 7S. Espectro de COSY (500 MHz, CDCl_3) de **3a** e **3b**

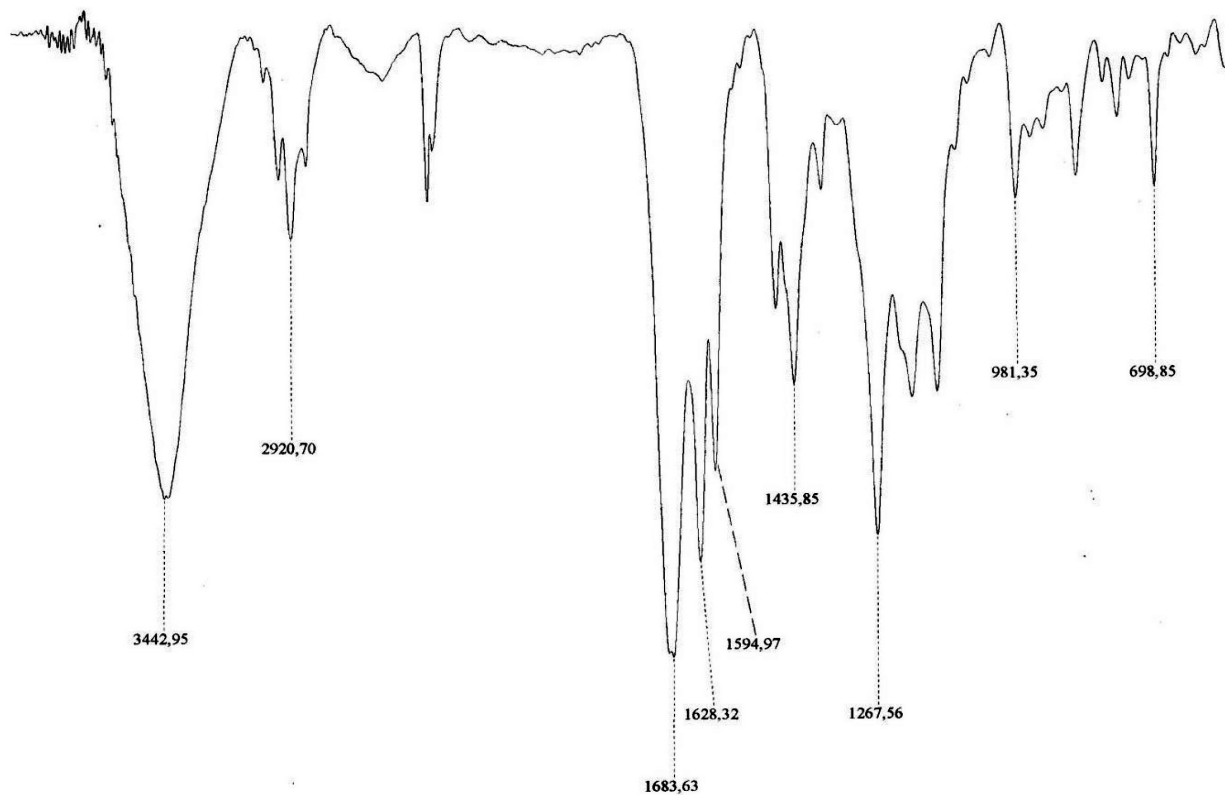


Figura 8S. Espectro de absorção na região de IV (KBr) de 7

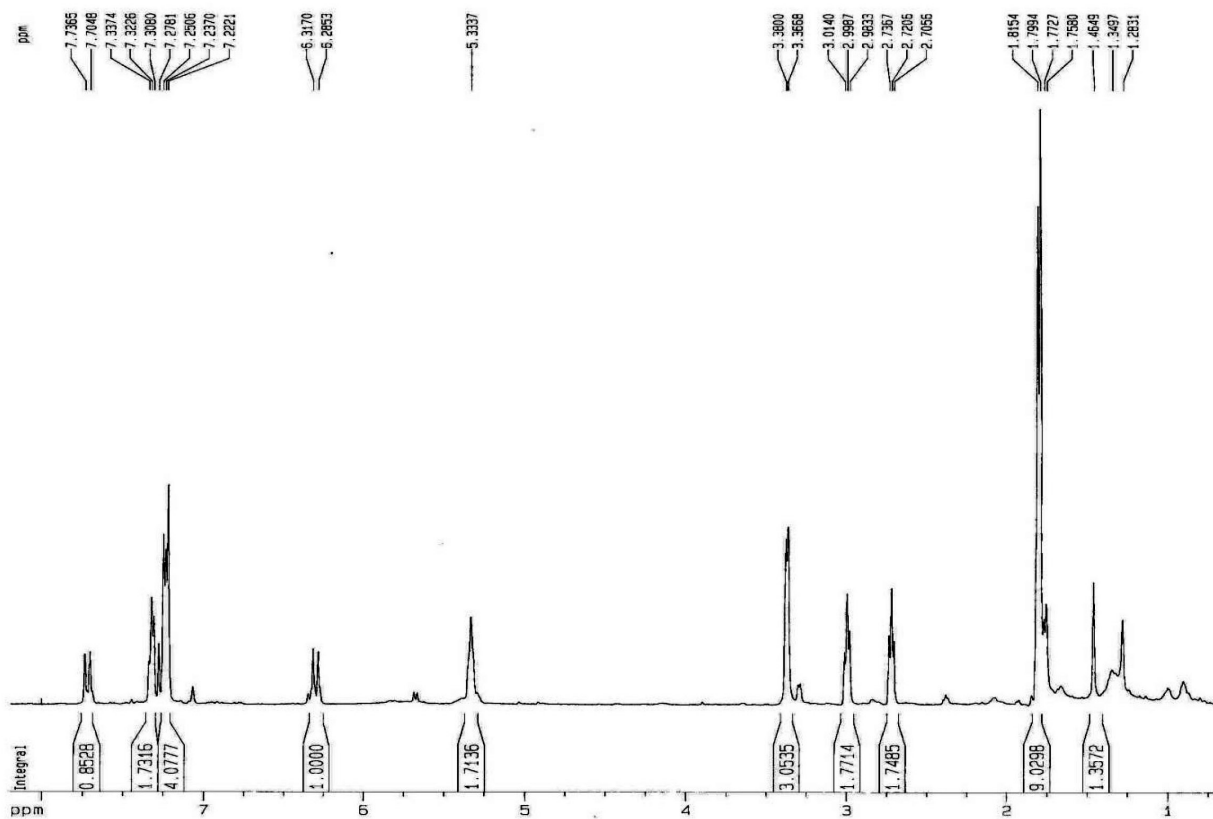


Figura 9S. Espectro de RMN de ¹H (500 MHz, CDCl₃) de 7

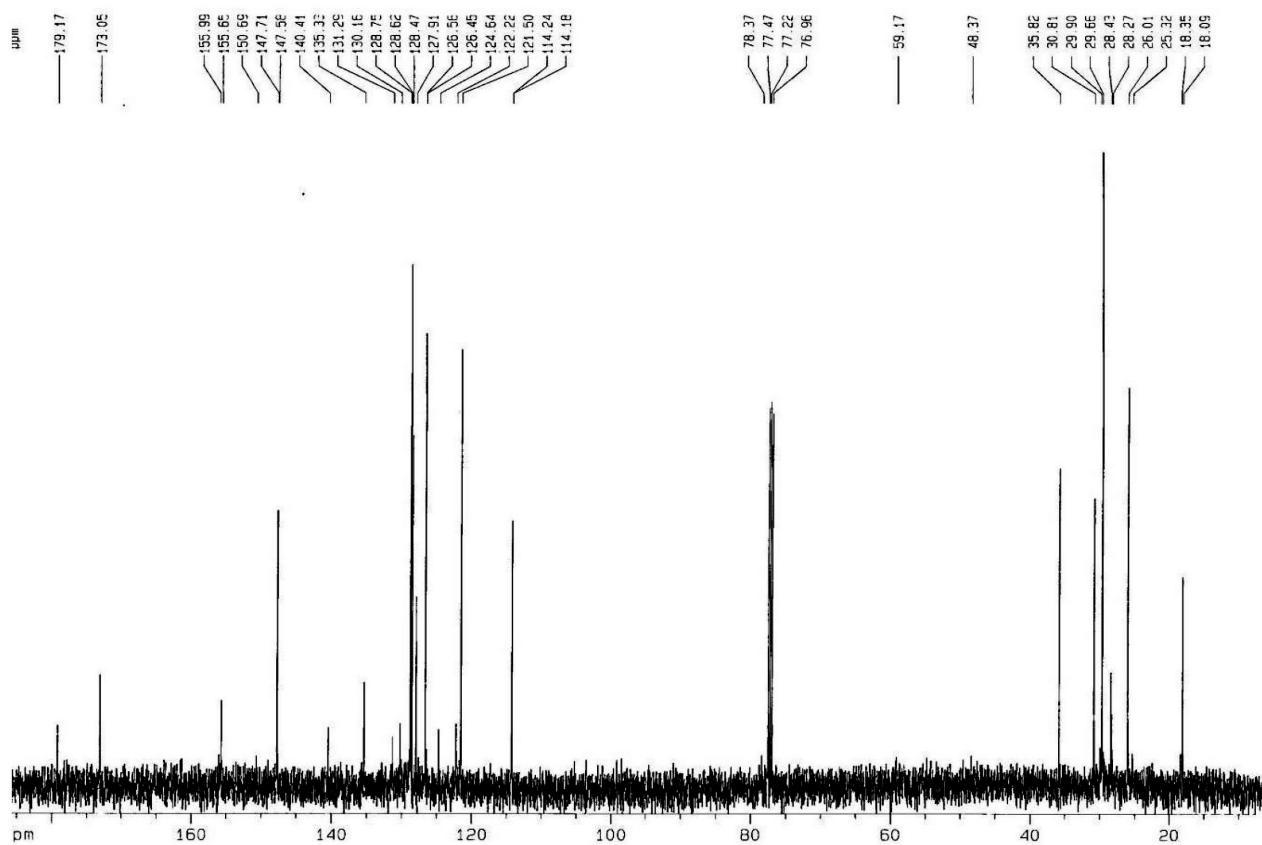


Figura 10S. Espectro de RMN de ^{13}C (125 MHz, CDCl_3) de 7

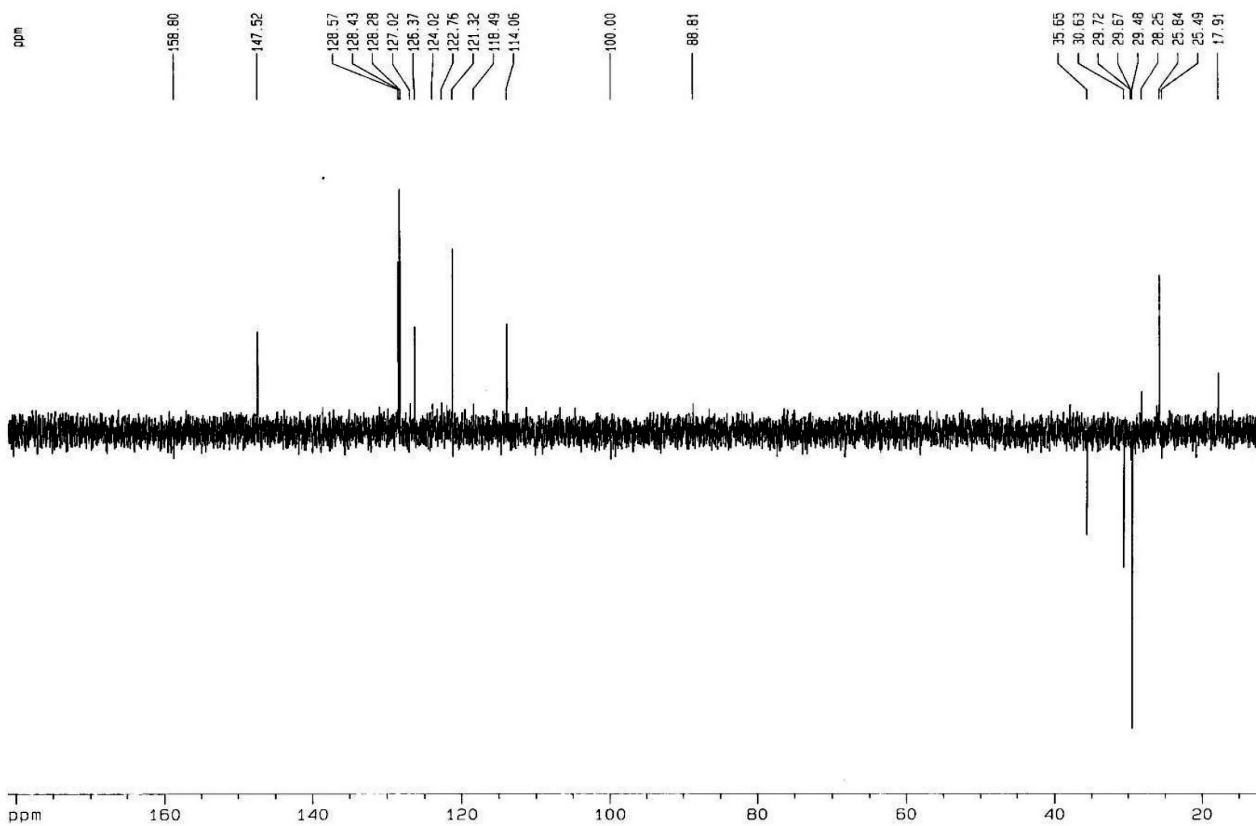


Figura 11S. Espectro de RMN de ^{13}C -DEPT (125 MHz, CDCl_3) de 7

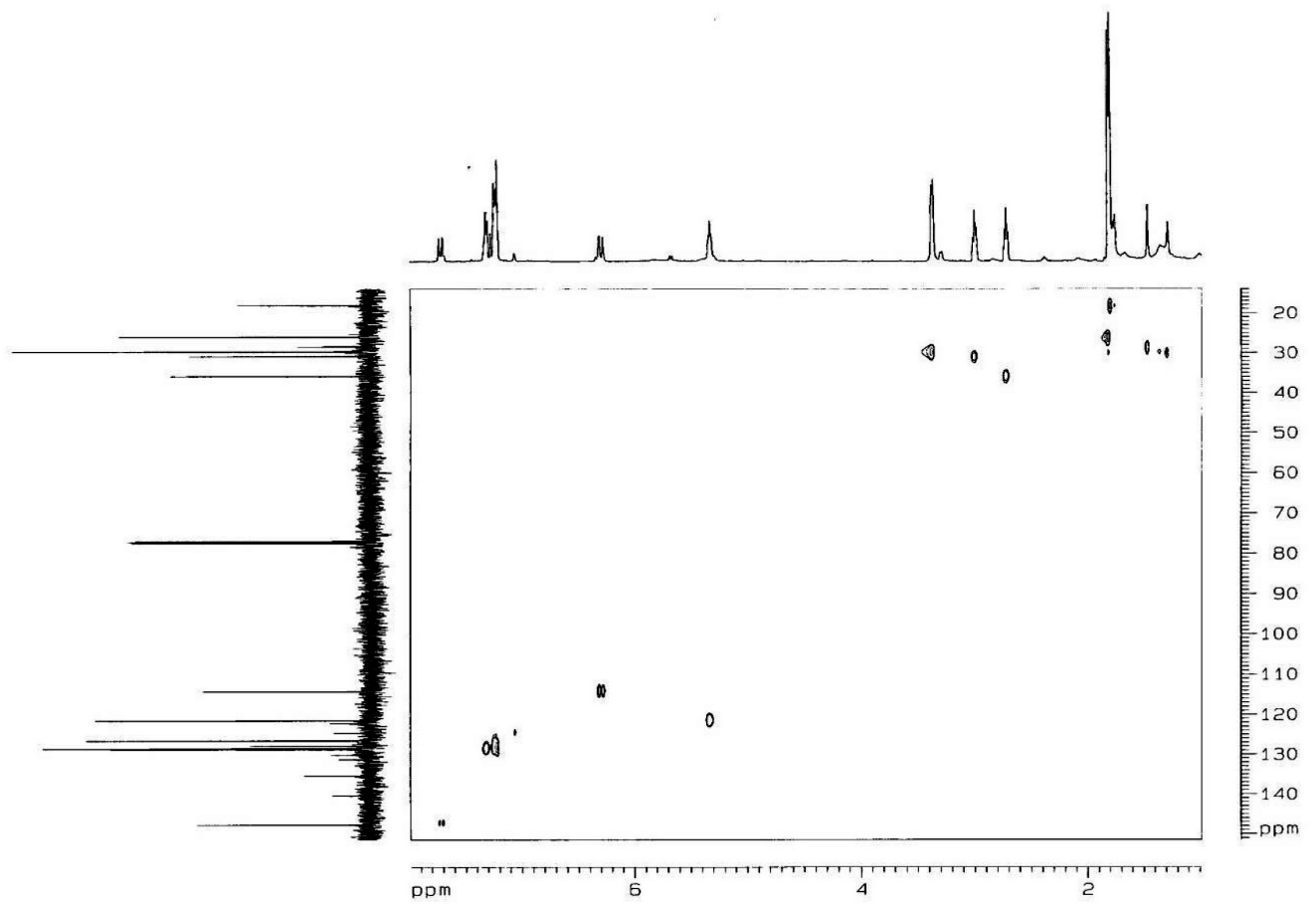


Figura 12S. Espectro de HMQC (500 MHz, para ^1H e 125MHz para ^{13}C CDCl_3) de 7

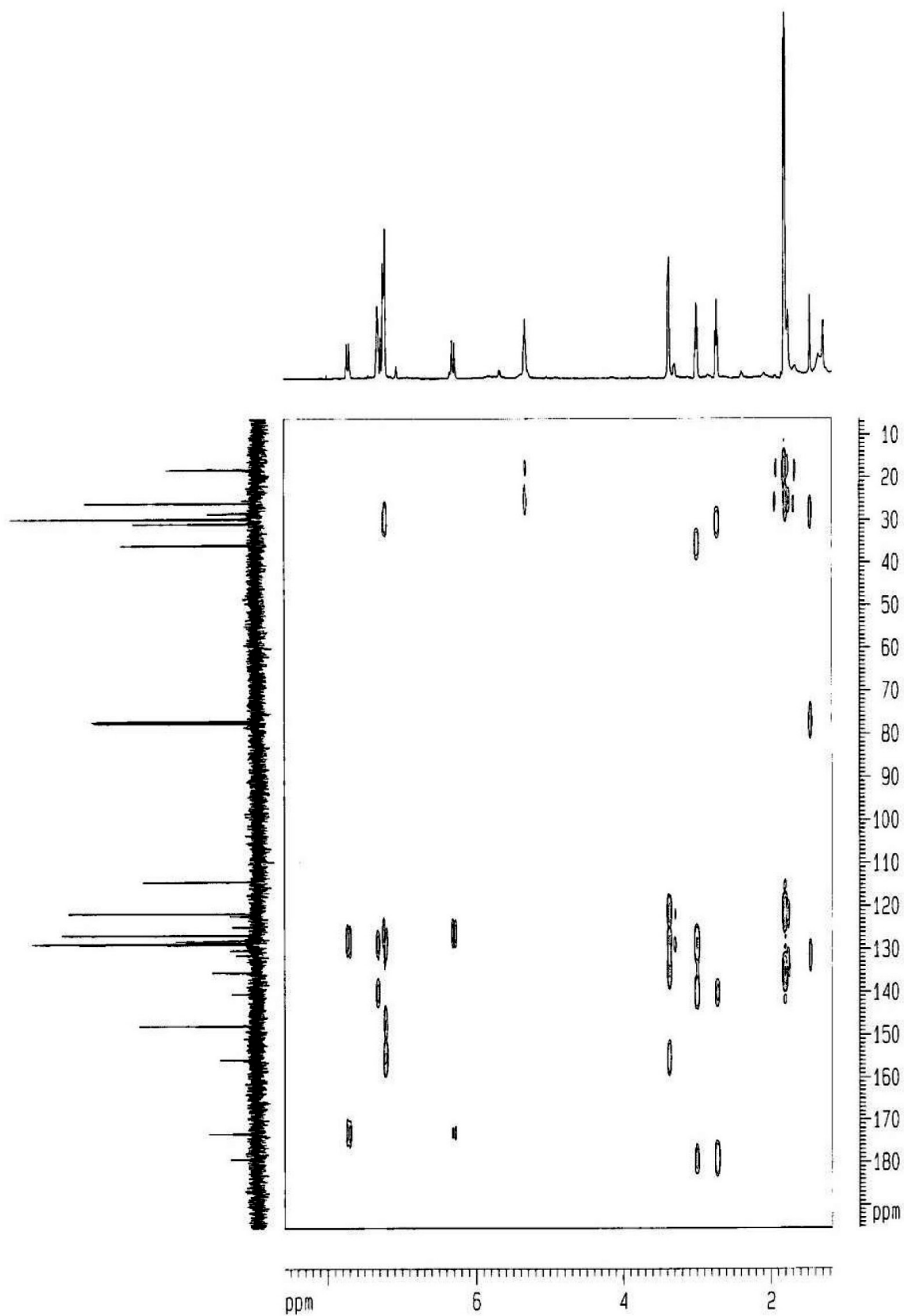


Figura 13S. Espectro de HMBC (500 MHz, para ^1H e 125MHz para ^{13}C CDCl_3) de 7

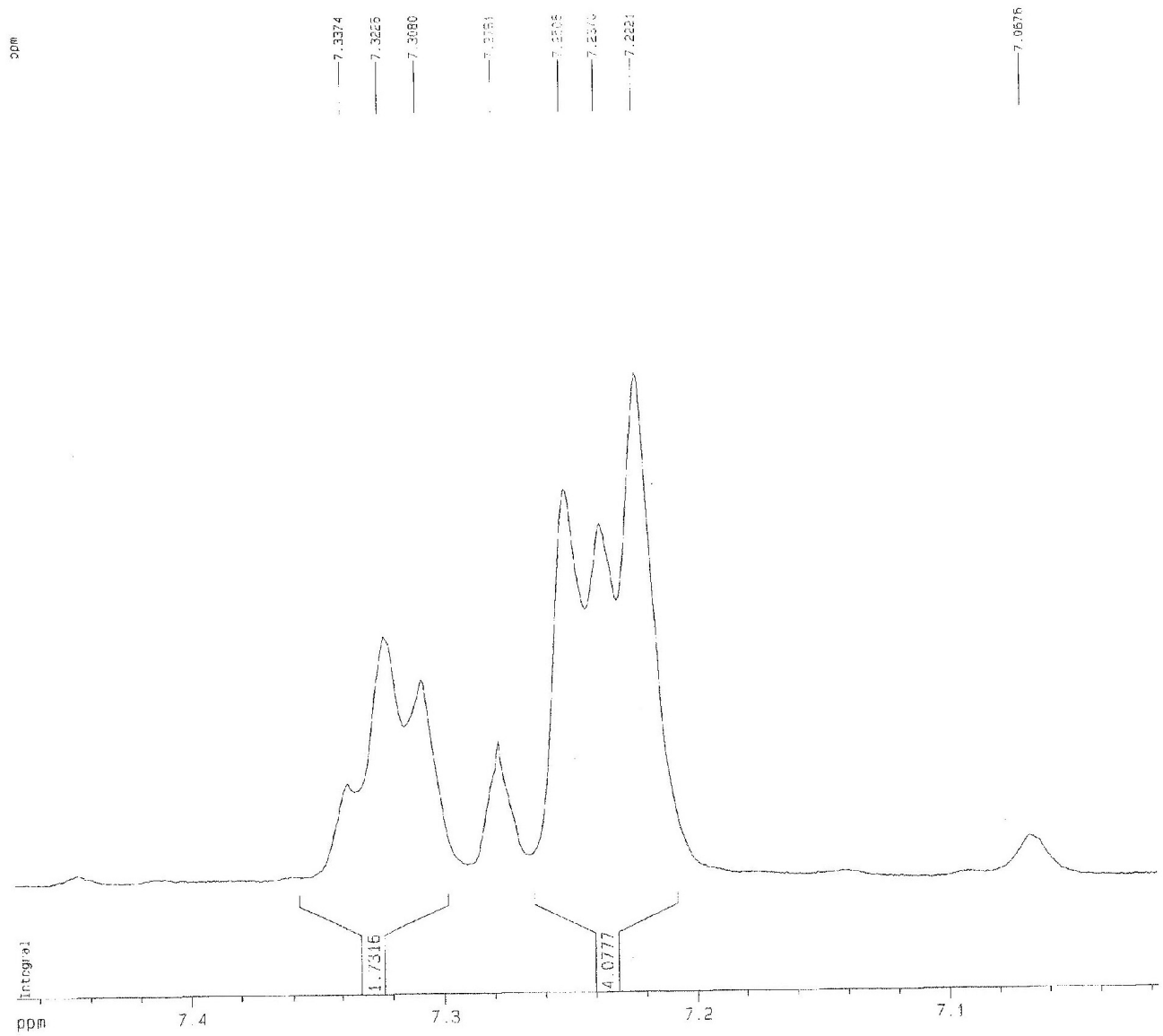


Figura 14S. Expansão do espectro de RMN de ^1H (500 MHz, CDCl_3) de 7

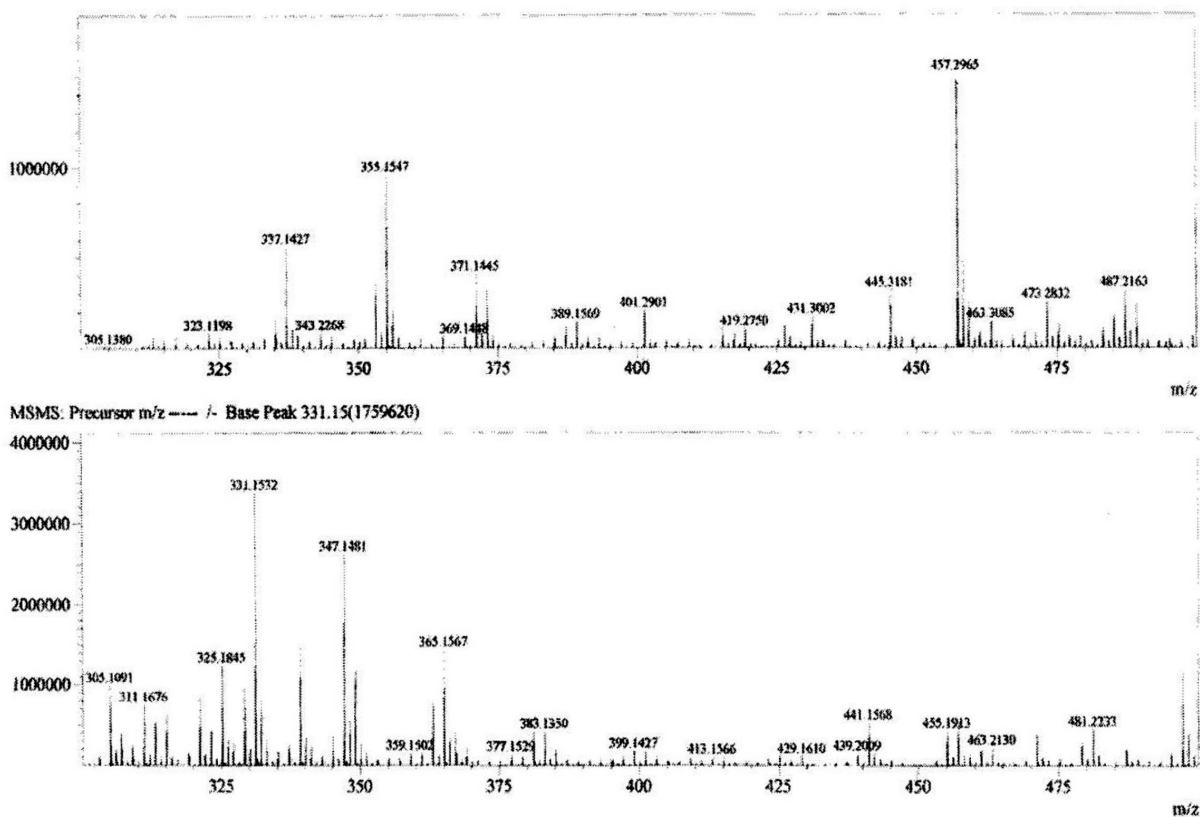


Figura 15S. Espectro de massas de alta resolução de 7

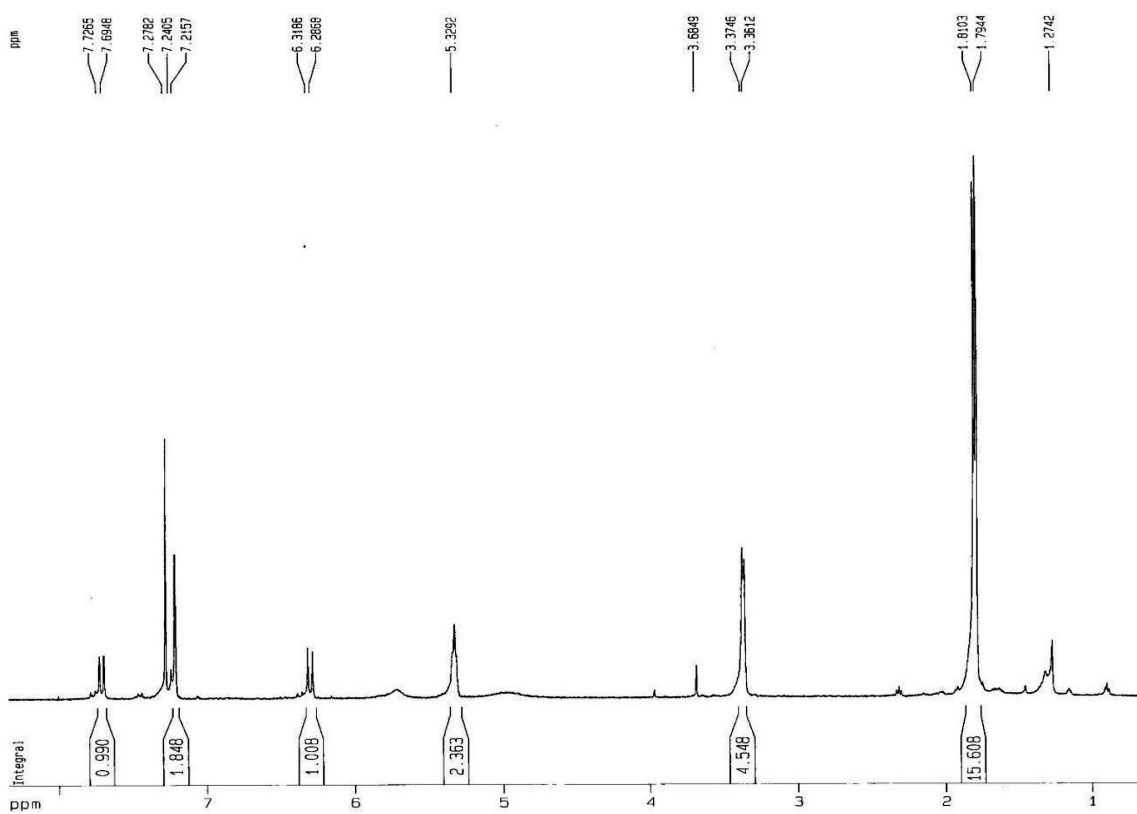


Figura 16S. Espectro de RMN de ^1H (500 MHz, CDCl_3) de 6

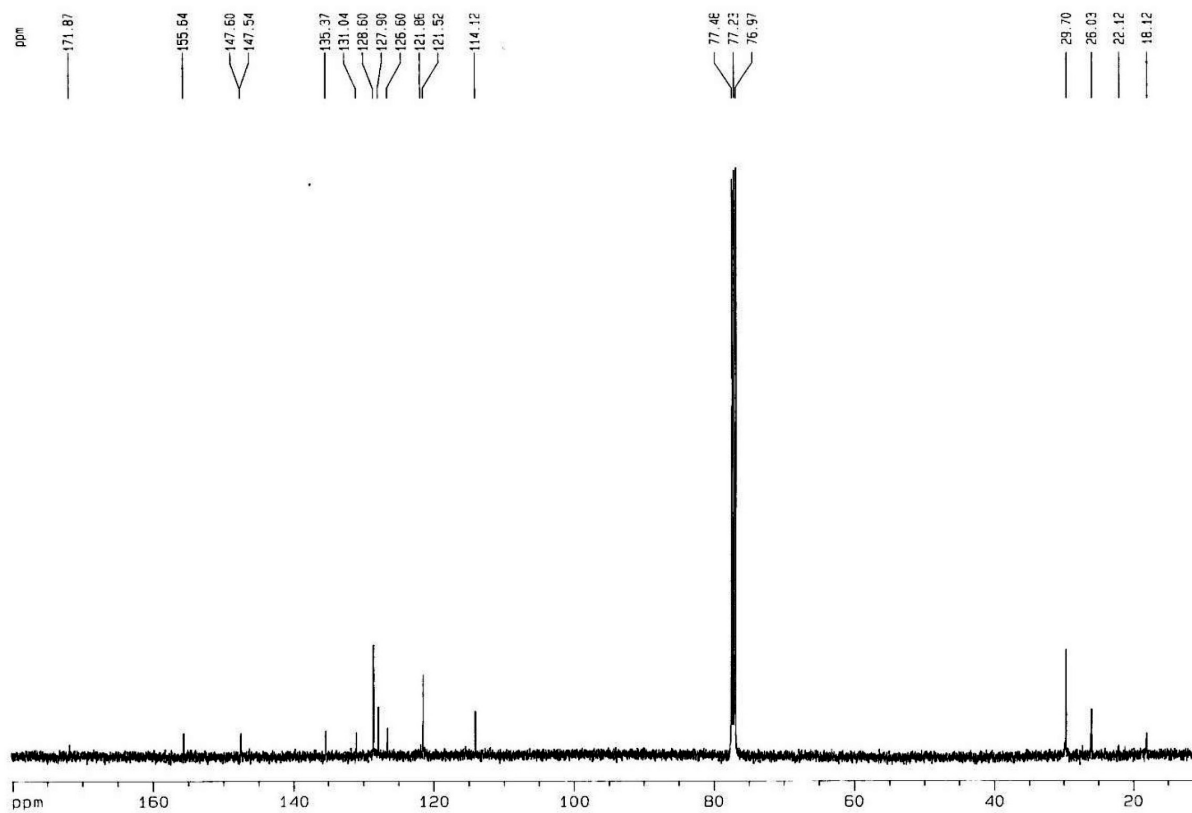


Figura 17S. Espectro de RMN de ^{13}C (125 MHz, CDCl_3) de 6

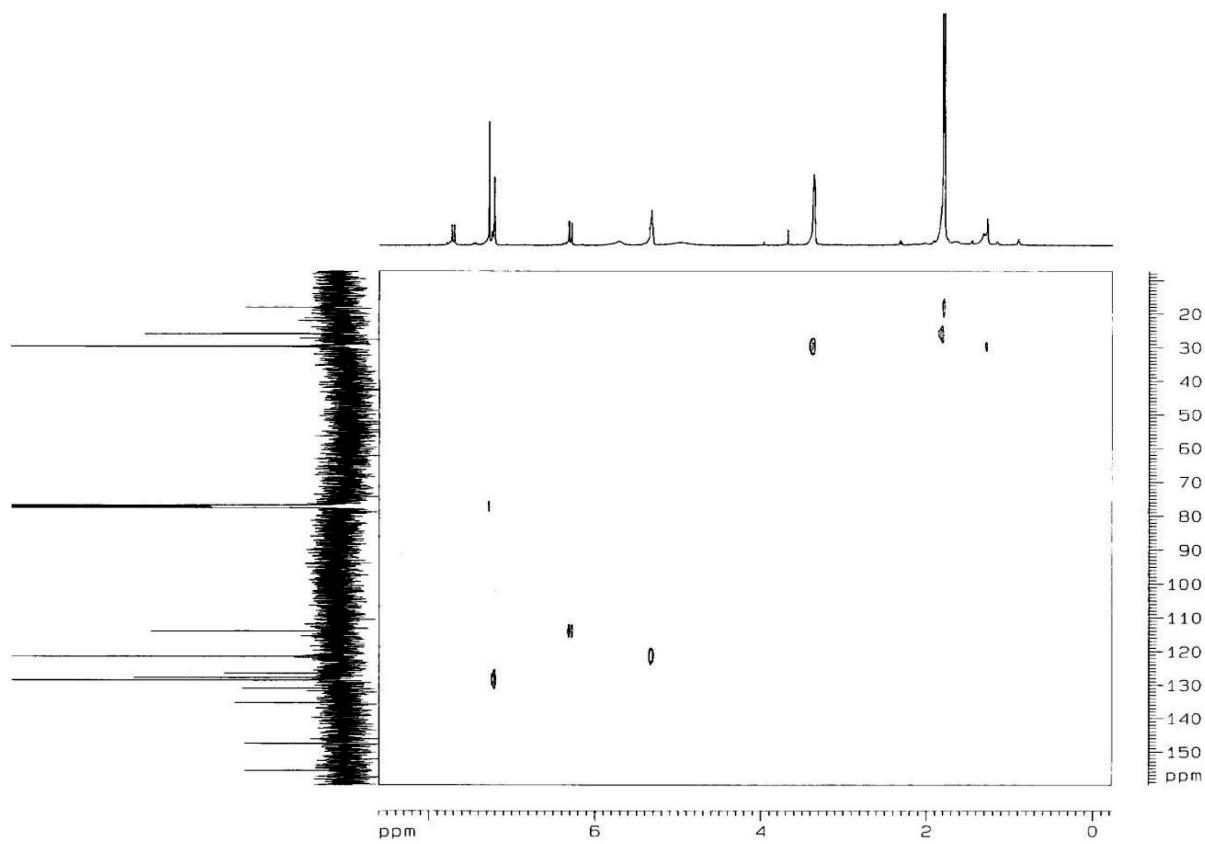


Figura 18S. Espectro de HMQC (500 MHz, para ^1H e 125MHz para ^{13}C CDCl_3) de 6